## ... il campo magnetico...

E' così chiamato il campo vettoriale di forze prodotto da un magnete, da una corrente elettrica, oppure da un campo elettrico variabile nel tempo.

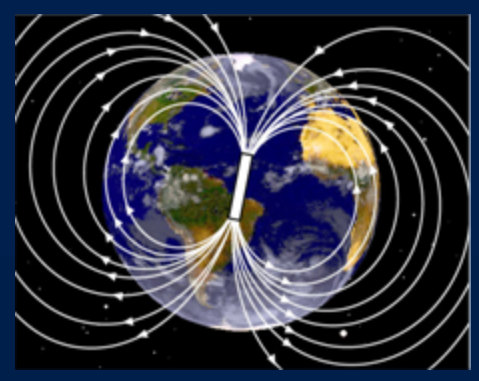
Grandezza vettoriale

munimum in the control of the contro

ampiezza direzione verso

## . . . . il campo magnetico . .

### Campo magnetico terrestre



Andred Little College

Polo Geografico

Magnetic
pole (1 = +90")

Equatore
Magnetico (1 = 0")

Magnetic
Geografico

Polo Geografico

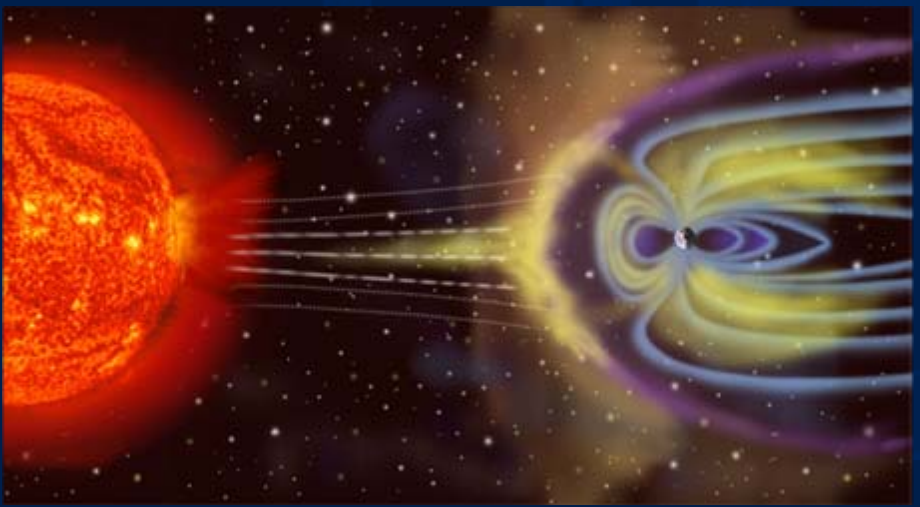
Polo Geografico

Polo Geografico

Polo Geografico

Polo Geografico

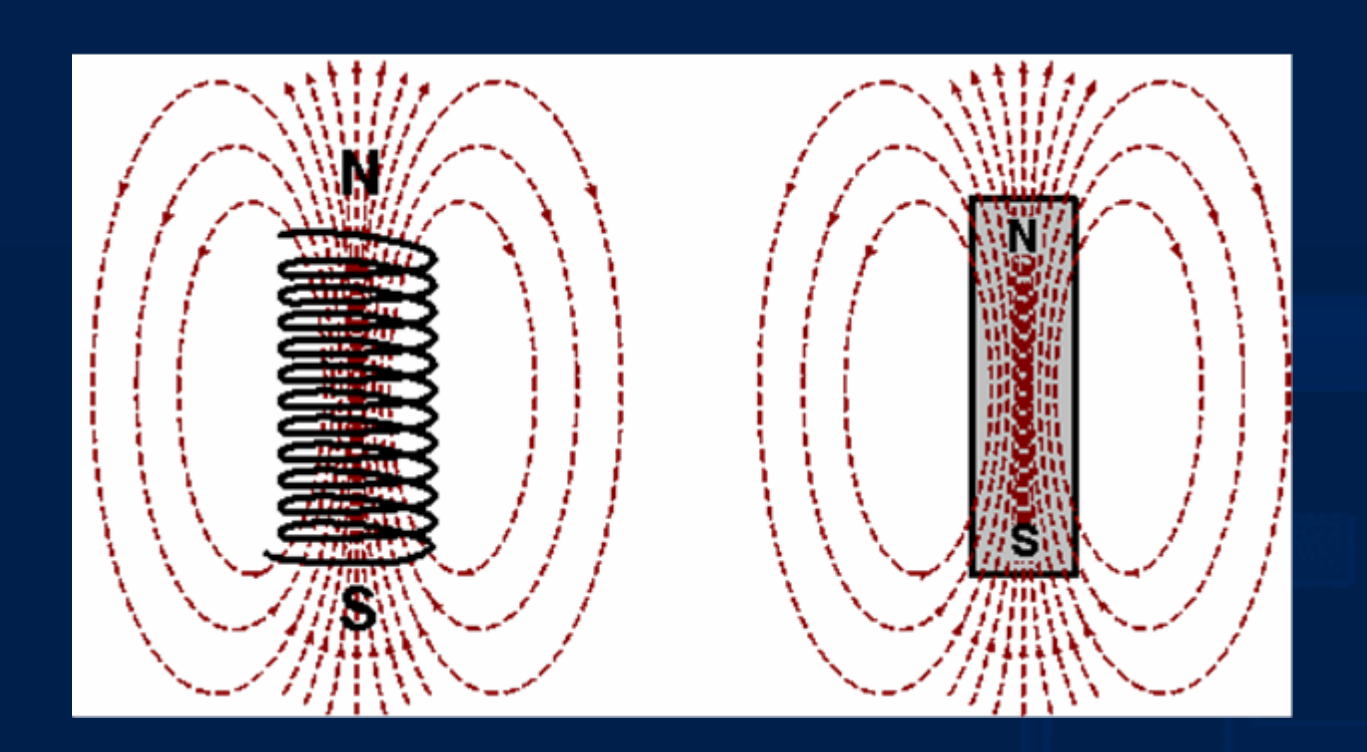
Campo principale
Campo crostale
Campo esterno
Campo d'induzione elettromagnetica



## . . . . il campo magnetico . .

Solenoide

Magnete



## Perché misurare il campo magnetico?

Ricerca delle rotte

miliation length in the control of the

Compatibilità elettromagnetica

Inquinamento elettromagnetico

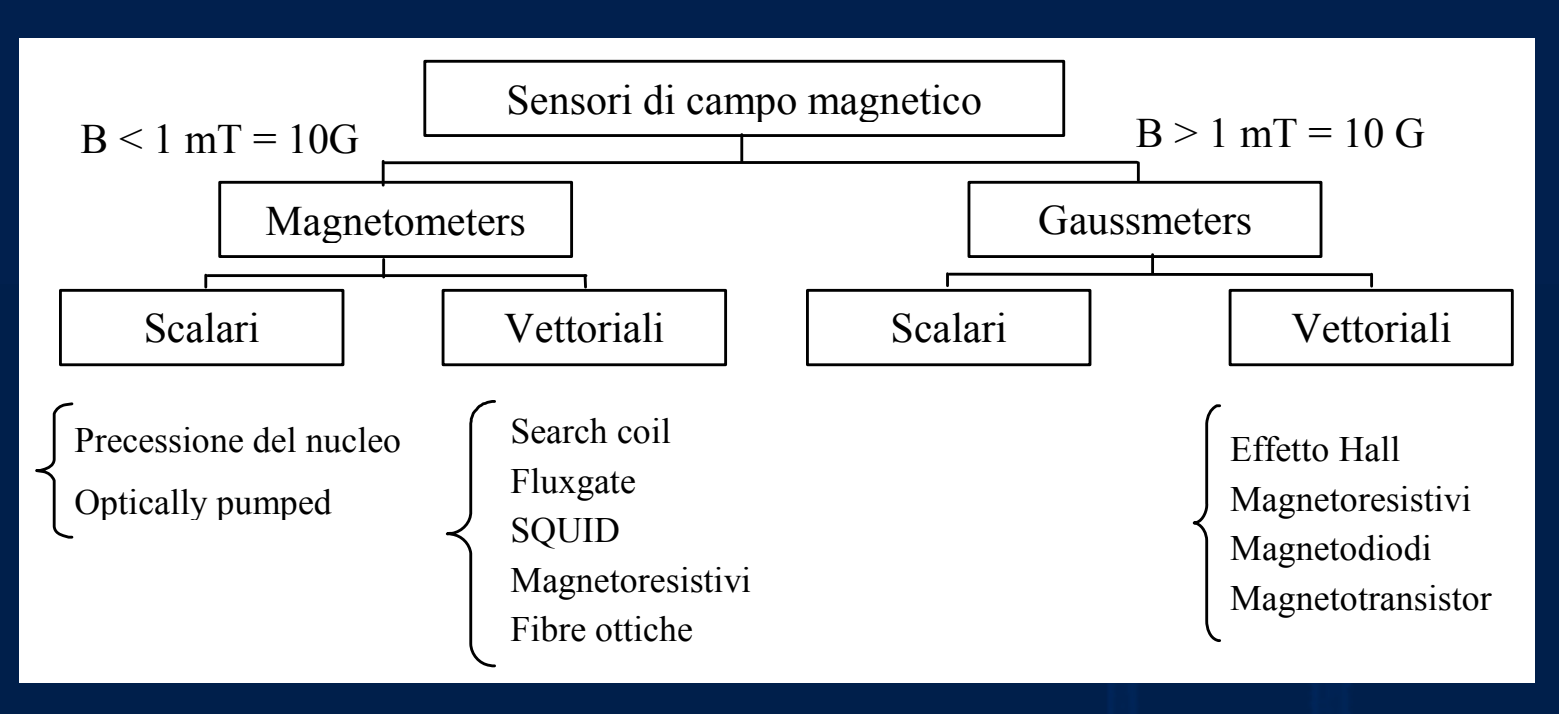
Applicazioni biomediche

Memorie per archiviazione dati

Indagini non invasive

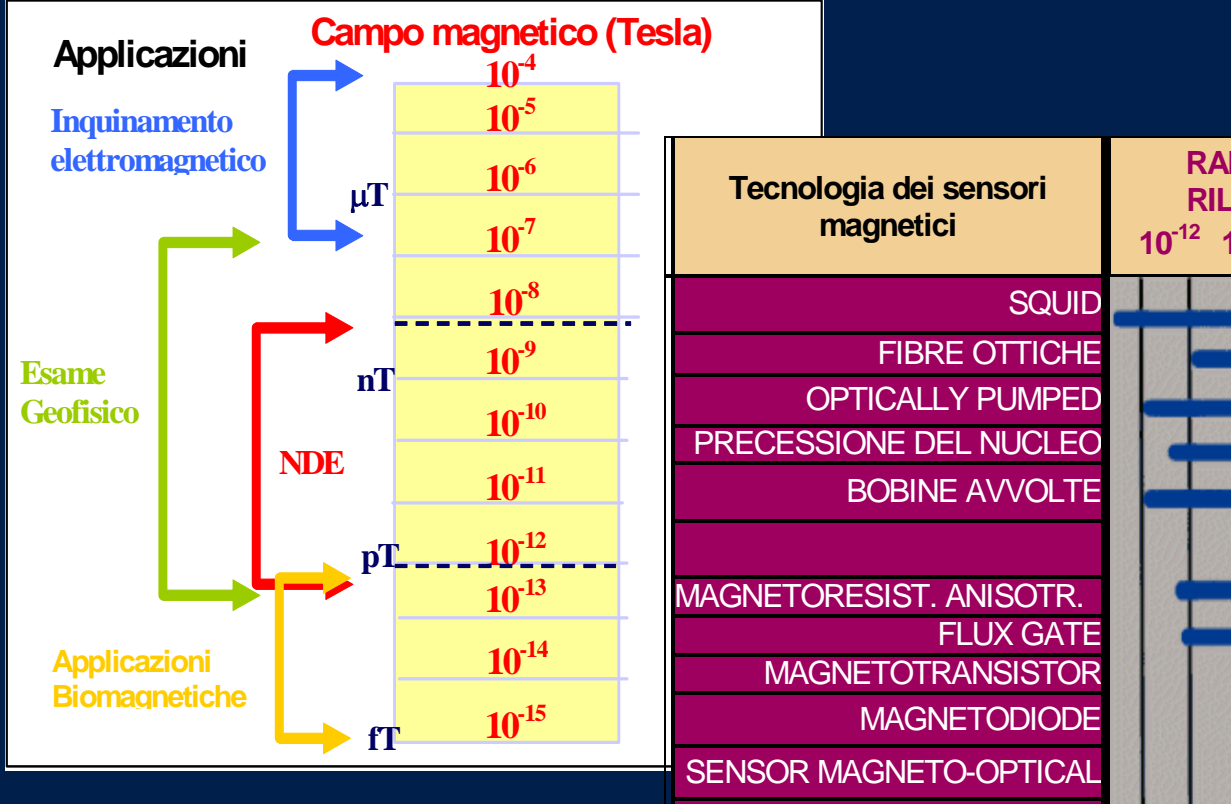
Etc . . .

## I sensori di campo magnetico

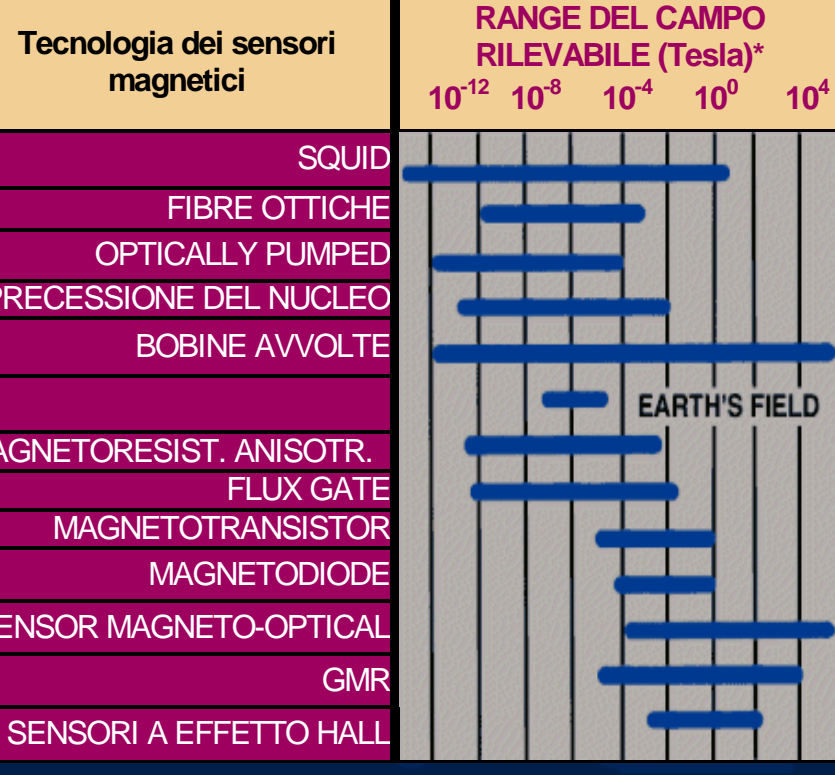


Manufacturity ( )

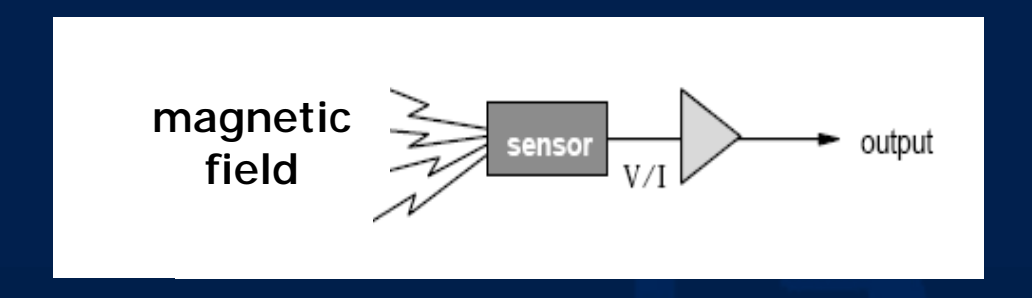
## I sensori di campo magnetico



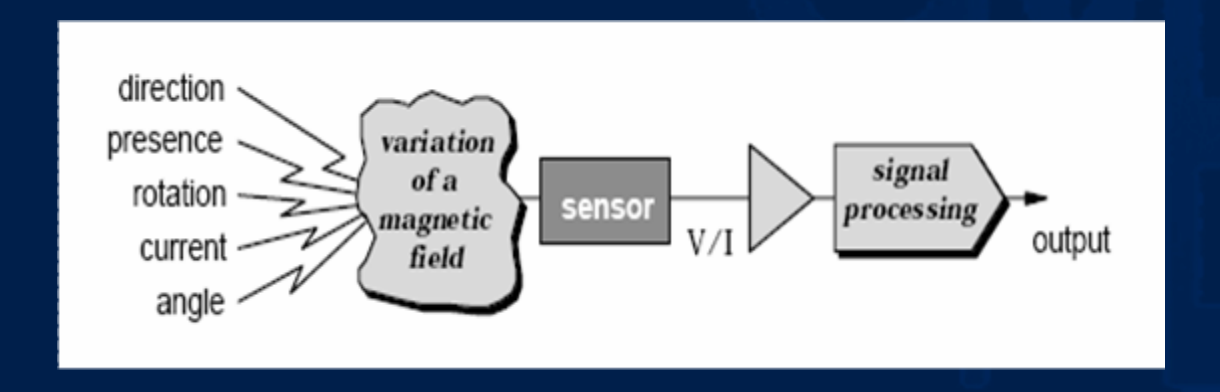
Amministration of the community of the c



## I sensori di campo magnetico



Maritan Maritan Maritan Maritan Maria



## Perché tante tipologie di sensori?

Tante sono le applicazioni sia per la misura diretta di campo magnetico che indiretta di altre grandezze, ognuna delle quali con le proprie esigenze che definiscono quale possa essere il sensore più adatto

Campo di misura

Sensibilità

adjusting the state of the stat

Risposta in frequenza

Dimensioni

Potenza dissipata

Costo

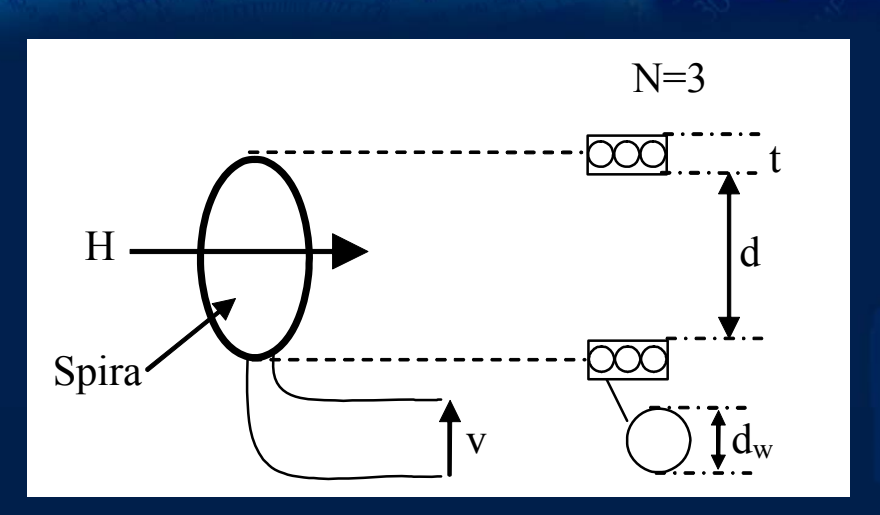
Linearità

Isteresi

Complessità del condizionamento

Etc . . .

### Search coil - Bobine



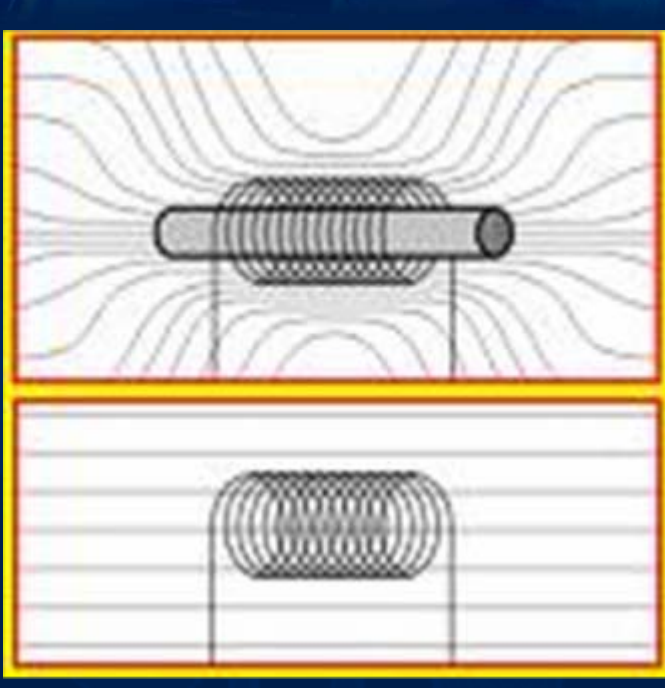
### La sensibilità dipende da:

- permeabilità del nucleo
- sezione della bobina
- numero di spire

Samulandradirective . . .

- frequenza del campo misurato

$$K = \mu_o \cdot N \cdot \pi \cdot \frac{d^2}{4} \left[ 1 + 2 \left( \frac{t}{d} \right) + \frac{3}{4} \left( \frac{t}{d} \right)^2 \right]$$



Legge di Faraday Lenz

$$V = -\frac{d\Phi}{dt} = -\frac{d}{dt} \left[ \int_{a} \underline{B} \cdot \underline{n} \cdot dA \right]$$

#### Search coil - Bobine

#### Caratteristiche

Misuratore vettoriale bidirezionale

Campo di misura: 10e-10 – 10e4 [T]

Sensibilità: variabile

Banda passante: 1Hz - 1MHz

Dimensioni tipiche: 5cm x 12cm

Potenza dissipata: < 10mW

Costo: medio-basso

Semplice realizzazione

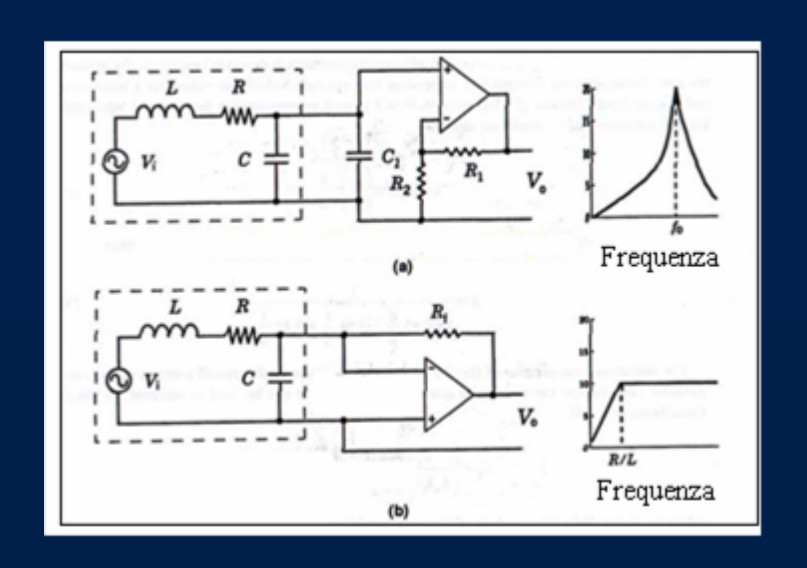
Robusto

Necessità di un elevato numero di spire

Semplice condizionamento

#### Search coil - Bobine

#### Condizionamento



minimum representation of the continuous of the

Amplificazione di tensione

Amplificazione di corrente

Il condizionamento con amplificazione di tensione è più adatto ad applicazioni a banda stretta o addirittura per un'unica frequenza

Il condizionamento con amplificazione di tensione è più indicato per applicazioni a banda larga.

In entrambi i casi la frequenza massima di misura è limitata dalla frequenza di risonanza della bobina

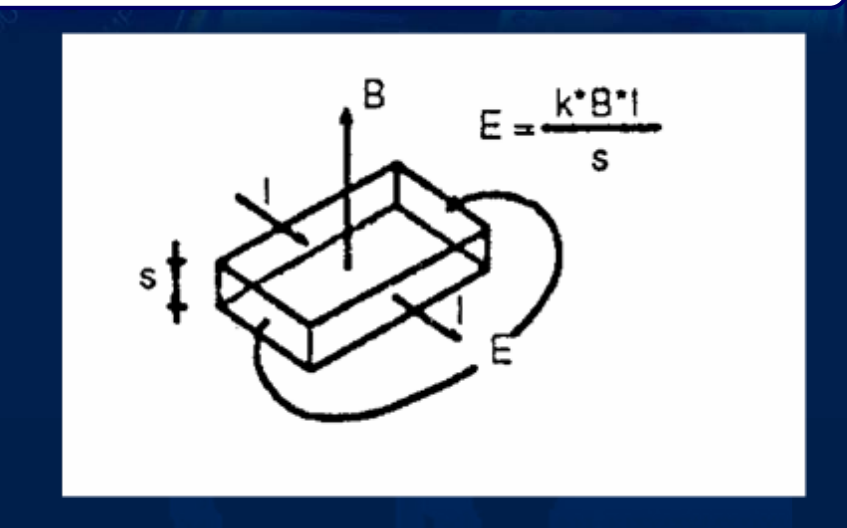
#### **Effetto Hall**

Effetto Hall (E.Hall 1879)

and militarity of the state of

$$V_y = K_H i(t) B(t)$$

K<sub>H</sub>= costante di Hall f (B, temperatura, dim. piastra)



- → In un materiale conduttore o semiconduttore sottoposto ad un campo di induzione magnetica Bz normale al flusso di una corrente elettrica di intensità Ix, si manifesta una d.d.p. Vy in direzione perpendicolare alle direzioni sia di Bz sia di Ix.
- Le cariche elettriche in moto con velocità **v** entro il campo **B** sono soggette ad una forza di Lorentz diretta perpendicolarmente sia a **v** che a **B**. Tale movimento origina un eccesso, di cariche negative su una faccia della piastra e cariche positive sull'altra, originando la d.d.p.

#### **Effetto Hall**

#### Caratteristiche

Misuratore vettoriale

Campo di misura: 0.1 – 3\*10e4 [mT]

Sensibilità: 10mV/T a 1.4 V/T

Banda passante: DC - 100MHz

Dimensioni tipiche: ordine del cm

Potenza dissipata: < variabile

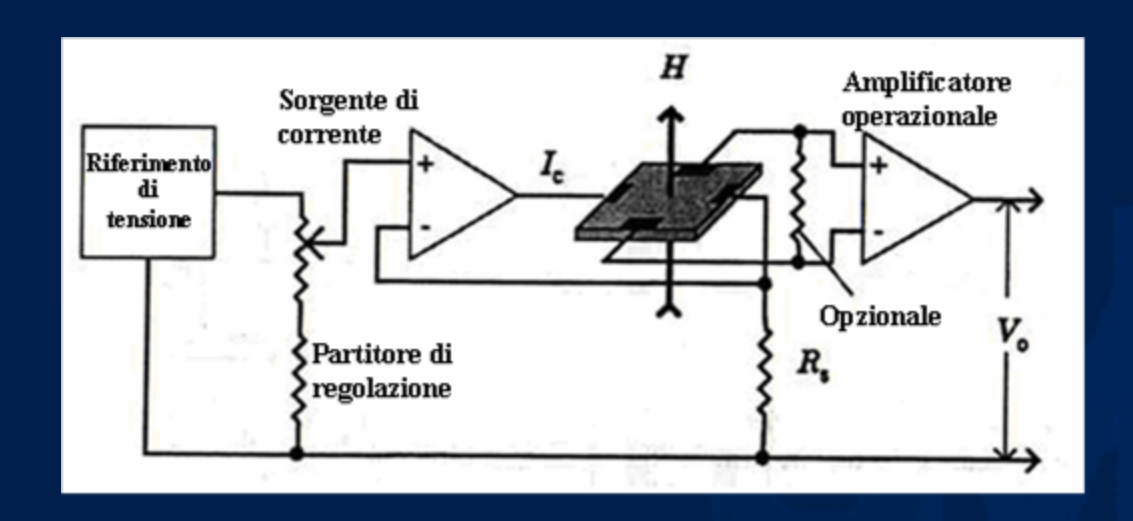
Costo: medio

Robusto

and and the state of the state

### **Effetto Hall**

#### Condizionamento



- → Generazione e controllo della corrente e del campo normale
- → Amplificazione della tensione

Manufacture Land Company

#### **SQUID Superconducting Quantum Interference Device**

#### Sono basati sull'ausilio di due principi fisici:

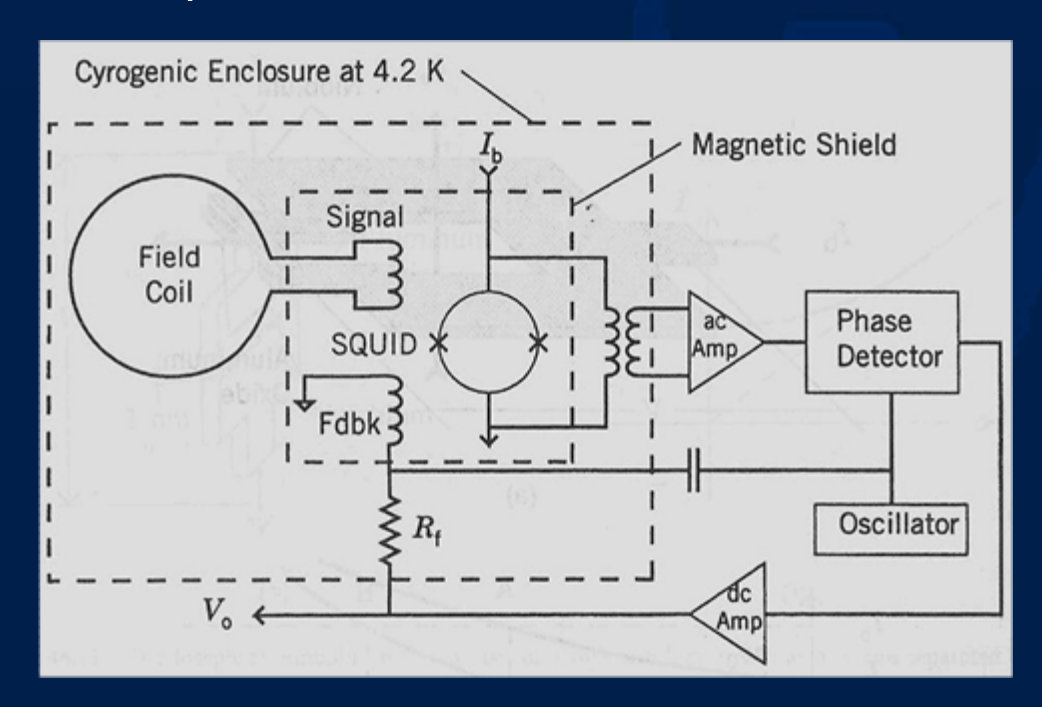
- Superconduttività dei materiali



Temperatura di esercizio: -270°C

- Effetto Josephson (1962)

manufaction of the contraction o



### SQUID Superconducting Quantum Interference Device

#### Caratteristiche

Misuratore vettoriale

minute de la company de la com

Campo di misura: 10e-9 - 0.1 [mT]

Sensibilità: elevata

Banda passante: DC - 5Hz

Dimensioni tipiche:

Potenza dissipata: ordine del W

Costo: alto (5k€)

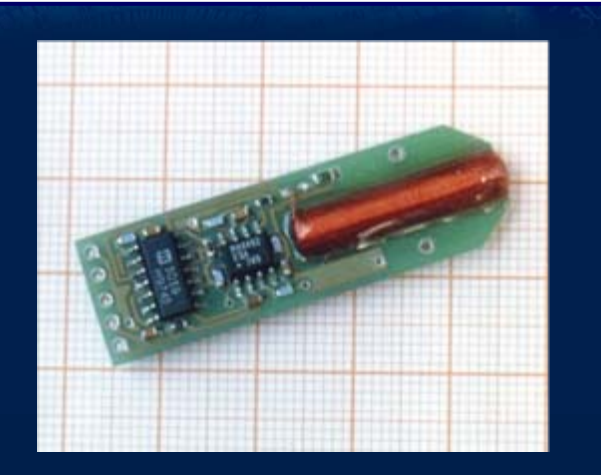
Necessità di raffreddamento in elio liquido

Poco robusto

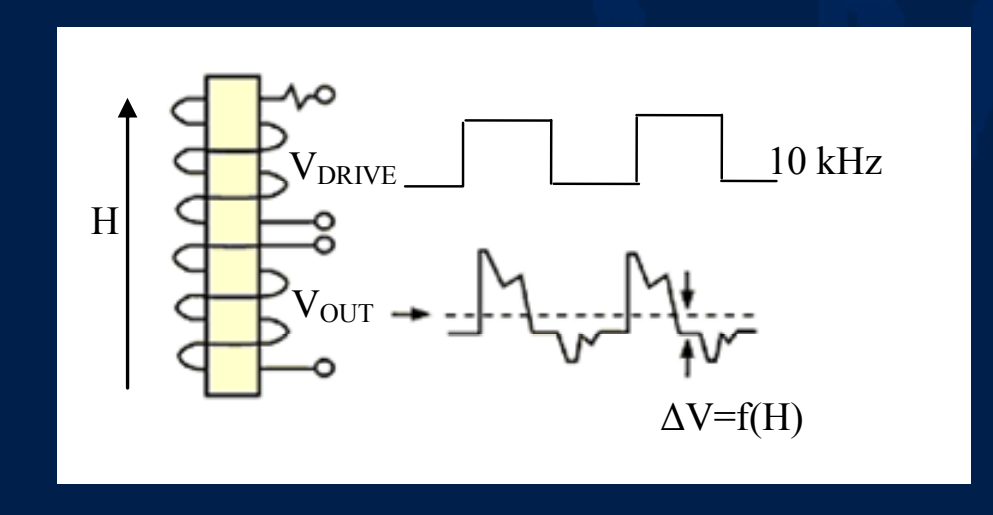
ridotte per l'elemento sensibile

ingombranti per il condizionamento

# **Fluxgate**







## **Fluxgate**

#### Caratteristiche

Misuratore vettoriale

Campo di misura: 10e-4 – 0.5 [mT]

Sensibilità: buona

malantandendender ( )

Banda passante: DC - 2kHz

Dimensioni: ridotte

Potenza dissipata: ridotta

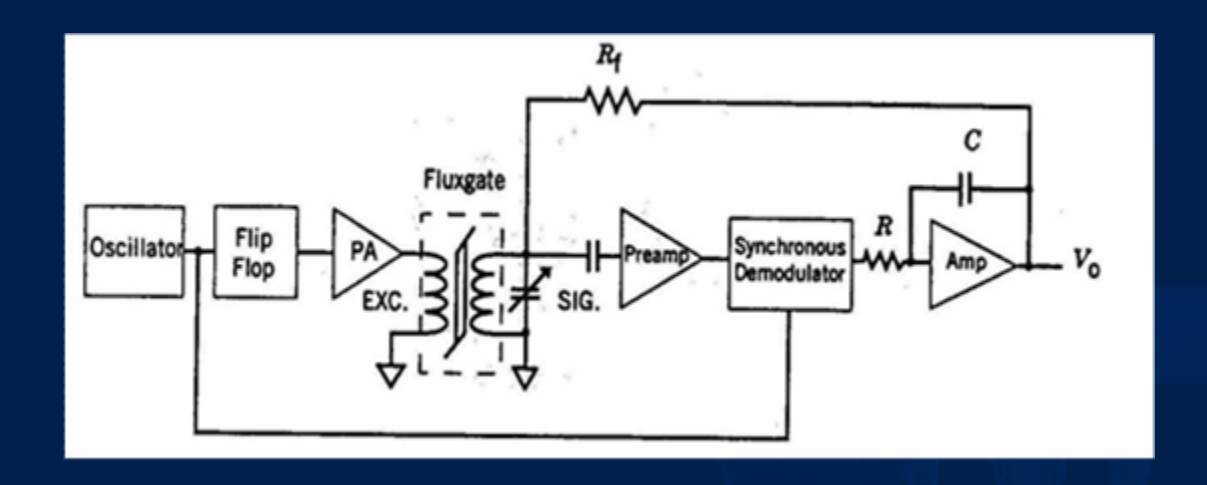
Costo: medio (70€)

Poco robusto

Costruttivamente semplice

## **Fluxgate**

#### Condizionamento



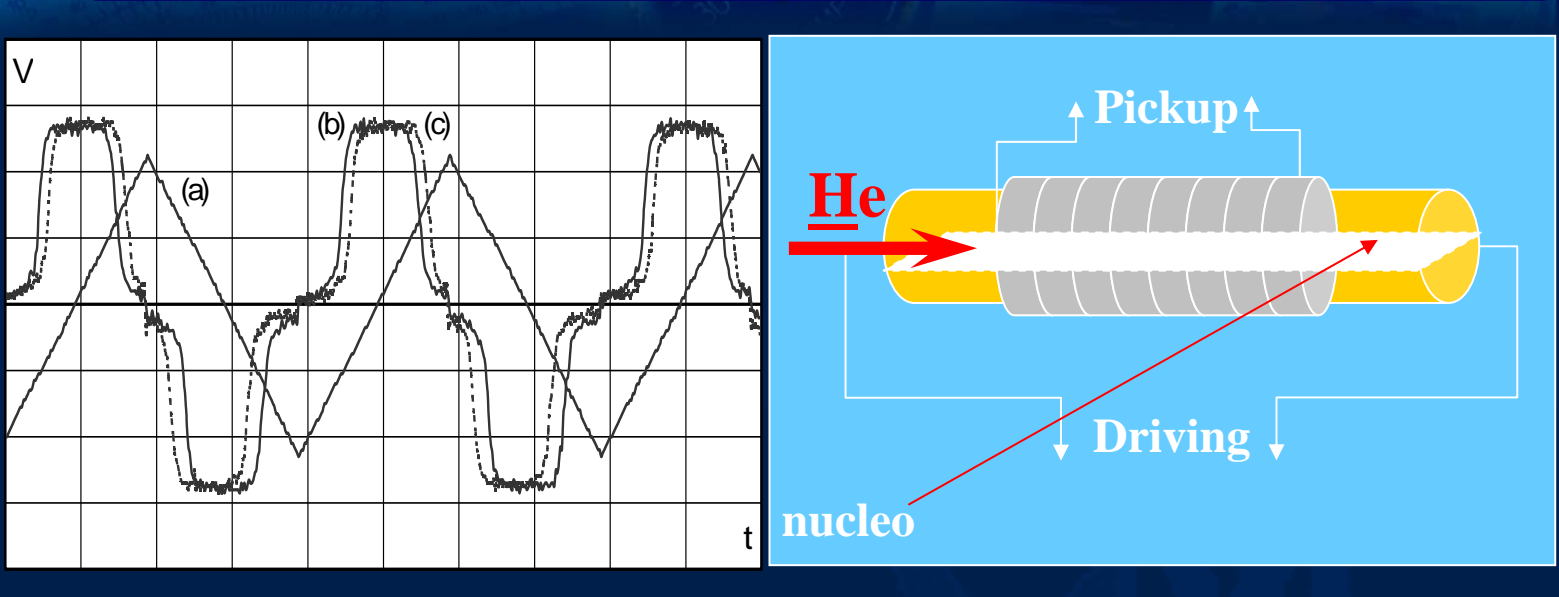
Alimentazione della bobina di eccitazione

Ambuduntindirinter et la , ,

→ Amplificazione e demodulazione del segnale di uscita dalla bobina di pickup

#### **Fluxset**

20



(a) Segnale di driving

- (b) segnale di pick-up in assenza di un campo magnetico esterno
- (c) segnale di pick-up in presenza di un campo magnetico esterno

Il <u>livello</u> del segnale di pick-up non dipende dal campo magnetico esterno

#### Caratteristiche

Misuratore vettoriale

Campo di misura: 30\*10e-6 –10 [mT]

Sensibilità: buona

Banda passante: DC - 20 kHz

Dimensioni: ridotte (5mm)

Potenza dissipata: ridotta

Costo: basso (5€)

Poco robusto

Costruttivamente semplice

#### Condizionamento

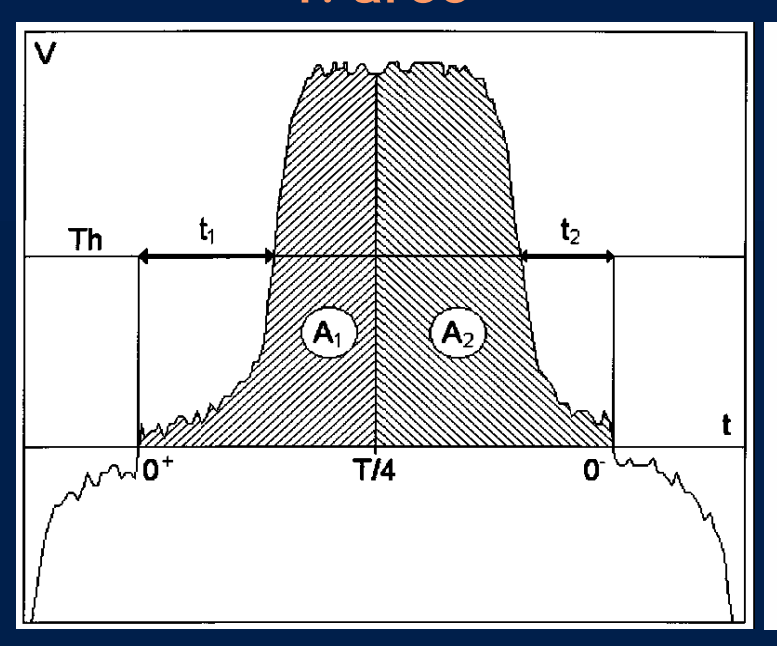
- → Alimentazione della bobina di eccitazione
- Demodulazione del segnale di uscita dalla bobina di pickup

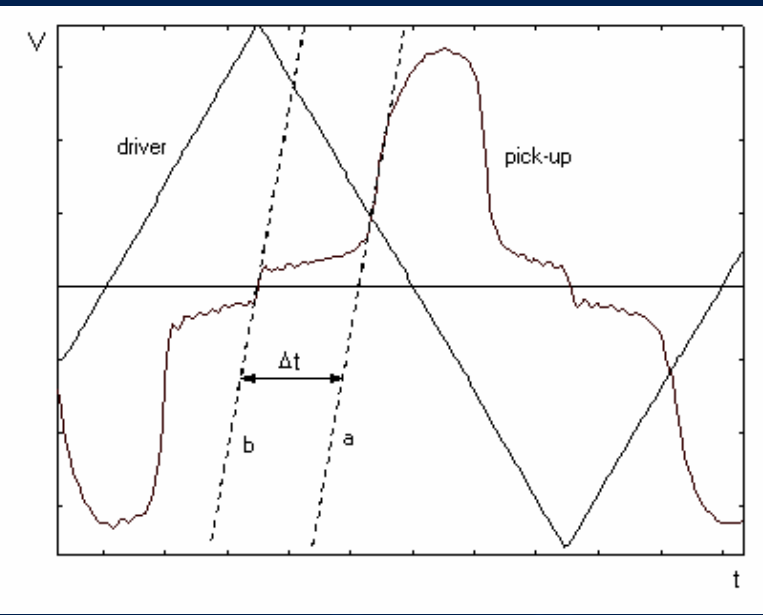
### **Fluxset**

### Condizionamento: estrazione del campo

1. aree

2. tempi





#### 3. Analisi in frequenza



# **Fluxset**



## **AMR Anisotropic MagnetoResistance**

Sono basati su una scoperta di William Thompson che nel 1856 ha osservato l'effetto magnetoresistivo nei metalli ferromagnetici. Ovvero che l'applicazione di un campo magnetico ad un materiale ferromagnetico ne causa la variazione della resistività.

E' solo dopo 100 anni che tale scoperta è stata sfruttata per la realizzazione di un sensore.

## **AMR Anisotropic MagnetoResistance**

#### Caratteristiche

Misuratore vettoriale

Campo di misura: 10e-3 – 5 [mT]

Sensibilità: buona

Banda passante: DC - 10 MHz

Dimensioni: ridotte (5mm)

Potenza dissipata: ridotta

Costo: basso (5€)

Robusto

malantandennellereller

Condizionamento on chip

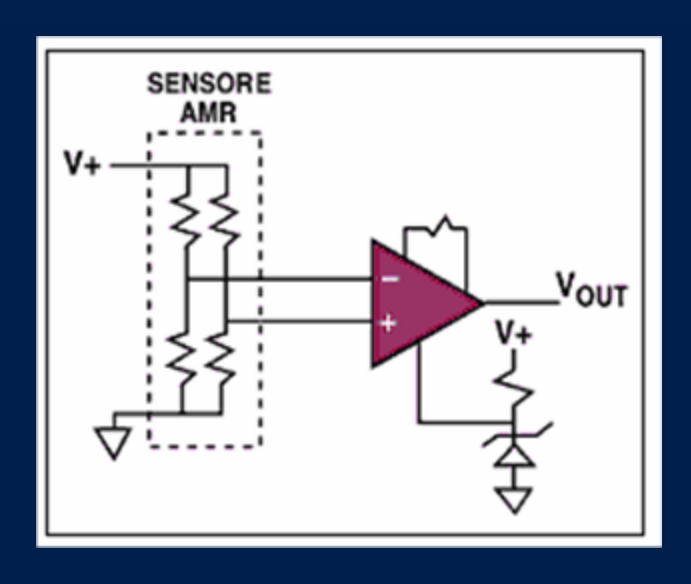
## **AMR Anisotropic MagnetoResistance**

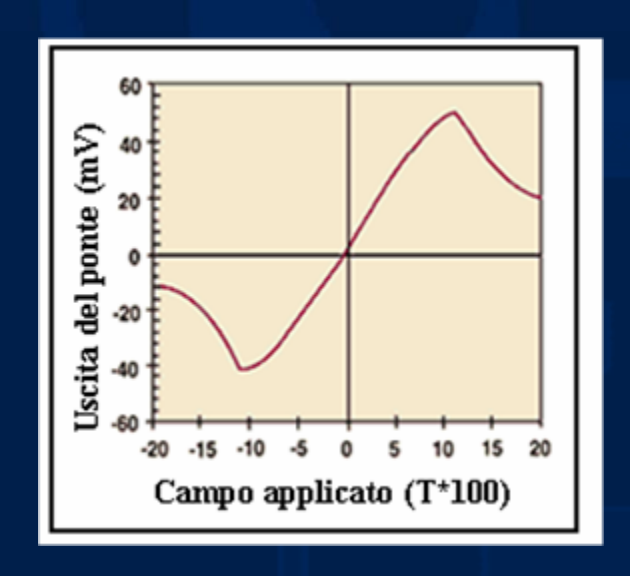
#### Condizionamento

Rilevare la variazione di resistenza

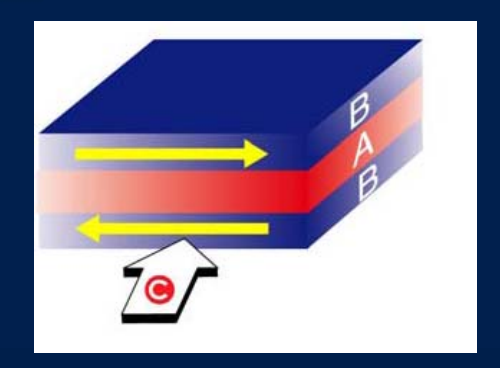
Annhudustradistration of the

Trasformarla in una variazione di tensione

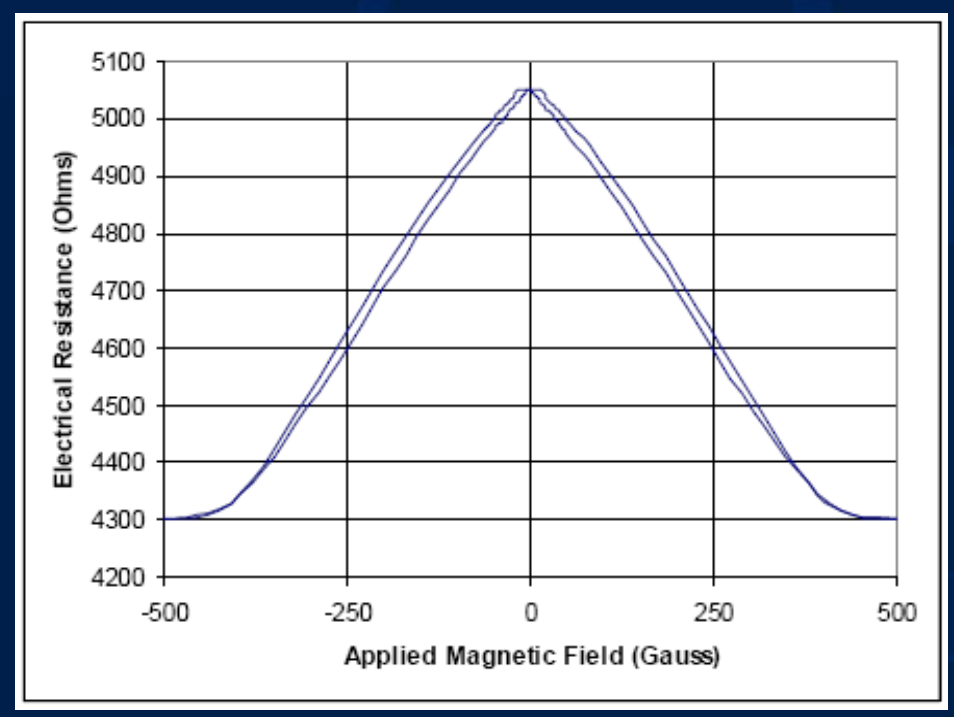




## **GMR Giant MagnetoResistance**



- a) Materiale amagnetico
- b) Materiale magnetico



## **GMR Giant MagnetoResistance**

#### Caratteristiche

Misuratore vettoriale

Campo di misura: 10e-3 – 5 [mT]

Sensibilità: buona

Banda passante: DC - 10 MHz

Dimensioni: ridotte (5-10mm)

Potenza dissipata: ridotta

Costo: basso (5€)

Robusto

ambutanhankan 1, , .

Precondizionamento on chip

## **GMR Giant MagnetoResistance**

#### Condizionamento

- Rilevare la variazione di resistenza
- Trasformarla in una variazione di tensione
- Limitare gli effetti dei fenomeni di isteresi e non linearità